

## ЛАМИНАРНЫЙ ПОГРАНИЧНЫЙ СЛОЙ НА ЛИНИИ РАСТЕКАНИЯ ЭЛЛИпсоИДОВ ВРАЩЕНИЯ

И. П. МОРОЗОВ (Москва)

Для уменьшения тепловых потоков вершины и передние кромки гиперзвуковых летательных аппаратов имеют более или менее заметное закругление, формой которого в большинстве случаев служит сегмент сферы или кругового цилиндра.

В работе [1] приведены результаты теоретического исследования ламинарного пограничного слоя на лобовой части эллипсоидов вращения, обтекаемых сверхзвуковым потоком совершенного газа при нулевом угле атаки. Было установлено, что при коэффициенте эллиптичности  $\delta \leq 2.0$  максимум местного теплового потока имеет место в окрестности передней критической точки, а при  $\delta > 2.0$  его положение смещается вниз по потоку от критической точки.

В данной работе исследовалось влияние числа  $M$  набегающего потока и температуры стенки на величину и характер распределения тепловых потоков на линии растекания эллипсоидов вращения. Величина коэффициента эллиптичности  $\delta = b/a$  изменялась в диапазоне от 0.5 до 3.07, угол атаки — от 5 до 15°, температурный фактор принимался равным 0.05, 0.5, 0.75. Число  $M$  полета менялось от 3 до 8.

1. Уравнения пограничного слоя в совершенном газе на линии растекания некоторого тела, записанные в полугеодезической системе координат, связанной с поверхностью тела, имеют следующий вид:

$$\begin{aligned} \rho r \left( u \frac{\partial u}{\partial x} + v \frac{\partial u}{\partial y} \right) &= \rho_e r u_e \frac{du_e}{dx} + r \frac{\partial}{\partial y} \left( \mu \frac{\partial u}{\partial y} \right) \\ \rho r \left( u \frac{\partial \omega}{\partial x} + v \frac{\partial \omega}{\partial y} + \omega^2 + \frac{2}{r} \frac{dr}{dx} u \omega \right) &= \\ = \rho_e r u_e \frac{d\omega_e}{dx} + \rho_e \omega_e^2 r + 2\rho_e \frac{dr}{dx} u_e \omega_e + r \frac{\partial}{\partial y} \left( \mu \frac{\partial \omega}{\partial y} \right) & \quad (1.1) \\ \rho r \left( u \frac{\partial i}{\partial x} + v \frac{\partial i}{\partial y} \right) &= \rho_e r u \frac{di_e}{dx} + r \mu \left( \frac{\partial u}{\partial y} \right)^2 + r \frac{\partial}{\partial y} \left( \frac{\mu}{P} \frac{\partial i}{\partial y} \right) \\ \frac{\partial}{\partial x} (\rho r u) + \frac{\partial}{\partial y} (\rho r v) + \rho r \omega &= 0 \quad \left( \omega = \frac{1}{r} \frac{\partial w}{\partial \zeta} \right) \end{aligned}$$

Здесь  $x$  и  $y$  — физические координаты, направленные вдоль и по нормали к телу;  $u$  и  $v$  — компоненты вектора скорости, параллельные осям координат  $x$  и  $y$  соответственно;  $\mu$  — динамический коэффициент вязкости;  $\rho$  — плотность газа;  $i$  — статическая энтальпия газа;  $P$  — число Прандтля;  $\omega$  — производная по  $\zeta$  от контравариантной составляющей скорости  $w/r$ , взятая на линии растекания  $\zeta = 0$ ; физическая составляющая  $w$  равна нулю при  $\zeta = 0$ ; переменная  $\zeta$  играет роль второй координаты в полугеодезической системе  $x, \zeta$  на поверхности тела с началом отсчета  $x = 0$  в передней критической точке. Функция  $r(x)$  может быть определена из решения уравнения

$$\frac{1}{r} \frac{d^2 r}{dx^2} + K(x) = 0 \quad \left( K(x) = \frac{1}{R_1 R_2} \right)$$

с начальными условиями

$$r = 0, \quad \frac{dr}{dx} = 1 \quad \text{при } x = 0$$

Здесь  $K(x)$  — полная кривизна поверхности на линии  $\zeta = 0$ . Индекс  $e$  характеризует параметры потока на внешней границе пограничного слоя, а индекс  $w$  — на поверхности тела.

Чтобы удовлетворить уравнению неразрывности, введем соотношения

$$\rho r u = \frac{\partial \psi}{\partial y}, \quad \rho r v = -\frac{\partial \psi}{\partial x} - \varphi, \quad \rho r \omega = \frac{\partial \varphi}{\partial y} \quad (1.2)$$

Подставляя выражения (1.2) в систему уравнений (1.4), произведем замену переменной  $y$  в соответствии с преобразованием

$$y = \frac{\Psi_*(x)}{\rho_e r u_e} \int_0^\eta \frac{\rho_e}{\rho} d\eta$$

полагая при этом, что

$$\psi = \Psi_* f(\eta, x), \quad \varphi = \frac{\Psi_*}{\alpha(x)} g(\eta, x), \quad u = u_e f', \quad \omega = \omega_* g', \quad i = i_e h'$$

В результате система, подлежащая интегрированию, сведется к следующему виду:

$$\begin{aligned} (mf''')' + (f+g)f'' + \frac{\alpha}{u_e} \frac{du_e}{dx} (h' - f'^2) &= \alpha \left( f' \frac{\partial f'}{\partial x} - f'' \frac{\partial f}{\partial x} \right) \\ (mg'')' + (f+g)g'' - \left[ \left( \frac{\alpha}{\omega_*} \frac{d\omega_*}{dx} + \frac{2\alpha}{r} \frac{dr}{dx} \right) f' + g' \right] g' + \\ + \left[ \frac{\alpha}{\omega_*} \frac{d\omega_e}{dx} + g_e' \left( g_e' + \frac{2\alpha}{r} \frac{dr}{dx} \right) \right] h' &= \alpha \left( f' \frac{\partial g'}{\partial x} - g'' \frac{\partial f}{\partial x} \right) \\ \left( \frac{m}{P} h'' \right)' + (f+g)h'' + \frac{u_e^2}{i_e} m f''^2 &= \alpha \left( f' \frac{\partial h'}{\partial x} - h'' \frac{\partial f}{\partial x} \right) \\ m = \frac{\rho\mu}{\rho_e \mu_e}, \quad g_e' = \frac{\omega_e}{\omega_*}, \quad \omega_* = \frac{u_e}{\alpha} \end{aligned} \quad (1.3)$$

Здесь  $\Psi_*$ ,  $\alpha$  и  $\omega_*$  определены так:

$$\Psi_* = \left( 2 \int_0^x r^2 u_e \rho_e \mu_e dx \right)^{1/2}, \quad \alpha(x) = \frac{2}{r^2 u_e \rho_e \mu_e} \int_0^x r^2 u_e \rho_e \mu_e dx, \quad \omega_* = \frac{u_e}{\alpha}$$

Штрихами обозначено дифференцирование по переменной  $\eta$ .

Решение системы (1.3) должно удовлетворять граничным условиям

$$\begin{aligned} f = f' = g = g' = h = 0, \quad h' = h_w' = \text{const} \quad \text{при } \eta = 0 \\ f = h' = 1, \quad g' = g_e' \quad \text{при } \eta \rightarrow \infty \end{aligned}$$

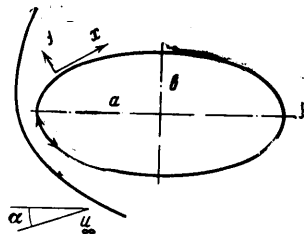
Интегрирование системы уравнений (1.3) осуществлялось при помощи стандартной программы для численного интегрирования на ЭВМ уравнений двумерного пограничного слоя, разработанной И. В. Петуховым [2]. Предполагалось, что число Прандтля постоянно и равно 0.7, а зависимость динамического коэффициента вязкости от температуры подчиняется закону Сазерленда.

В качестве характерного размера была выбрана полуось эллипсоида  $a$ . Температура газа на бесконечности принималась равной 288° К.

2. Результаты численного интегрирования поля течения вокруг эллипсоидов вращения, обтекаемых под углом атаки сверхзвуковым потоком совершенного газа, приведены в работе [3], в которой для численного интегрирования был применен метод, разработанный Теленным Г. Ф. [4].

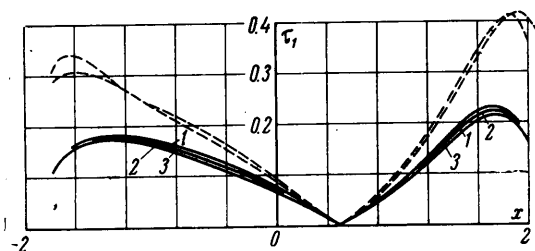
На фиг. 1 приведено схематическое изображение картины обтекания эллипсоидов вращения, обтекаемых под углом атаки, и система координат, используемая при расчете ламинарного пограничного слоя.

3. Влияние различных параметров: числа  $M$  полета, температурного фактора, формы тела и угла атаки на характер изменения напряжения трения вдоль линии



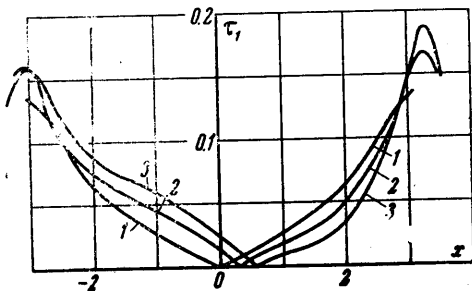
Фиг. 1

растекания эллипсоида вращения показано на фиг. 2—4 в виде зависимости величины



Фиг. 2

напряжения трения для эллипсоида с  $\delta = 1.5$  и угла атаки  $15^\circ$  (пунктирной кривой нанесены зависимости для  $N_{1w} = 0.75$ , сплошной — для  $N_{1w} = 0.05$ ; кривая 1 соответствует числу  $M_\infty = 5$ ; кривая 2 — числу  $M_\infty = 4$ ; кривая 3 — числу  $M_\infty = 3$ ). Можно видеть, что увеличение числа  $M$  полета приводит к некоторому возрастанию напряжения трения. Проведенные расчеты для  $M_\infty = 6$  и 8 показывают, что дальнейшее увеличение числа  $M$  полета незначительно сказывается на увеличении напряжения трения, что связано со стабилизацией распределения относительной скорости невязкого течения при больших скоростях.



Фиг. 3

Увеличение температурного фактора приводит к возрастанию напряжения трения. Это связано с тем, что в данном случае усиливается влияние градиента скорости.

Увеличение угла атаки приводит к нарушению симметрии в распределении напряжения трения (см. фиг. 3, где приведены кривые для  $M_\infty = 3$ ,  $\delta = 3.07$ ,  $N_{1w} = 0.05$ ; кривая 1 соответствует углу атаки  $\alpha = 0^\circ$ ; кривая 2 —  $\alpha = 5^\circ$ ; кривая 3 —  $\alpha = 10^\circ$ ). Данные при  $\alpha = 0^\circ$  заимствованы из работы [4].

Максимальные значения напряжения трения на наветренной стороне тела несколько увеличиваются с увеличением угла атаки, на подветренной стороне наблюдается уменьшение градиента касательного напряжения. Такое поведение напряжения трения объясняется увеличением кривизны наветренной части тела и ее уменьшением на подветренной стороне с увеличением угла атаки.

На фиг. 4 показано влияние формы тела на распределение напряжения трения для числа  $M_\infty = 3$ ,  $\alpha = 15^\circ$  (пунктирной линией нанесены зависимости для  $N_{1w} = 0.75$ , сплошной — для  $N_{1w} = 0.05$ , кривая 1 соответствует  $\delta = 3.07$ , кривая 2 —  $\delta = 1.5$ ). При уменьшении параметра  $\delta$  максимальное значение напряжения трения увеличивается.

Анализ теплопередачи на поверхности эллипсоидов вращения при сверхзвуковых скоростях полета начнем с рассмотрения влияния формы тела на характер распределения относительного потока тепла  $q_1 = q_w(x) / q_w(0)$  вдоль линии растекания.

$$\tau_1 = \frac{\tau_w}{u_m^2 \rho_0} \sqrt{R_0}$$

от координаты  $x$  при фиксированных значениях  $\delta$ ,  $M_\infty$  и  $N_m$ . Здесь  $\tau_w$  — местное напряжение трения;  $u_m$  — максимальная скорость потока;  $\rho_0$  — плотность торможения;  $R_0$  — число Рейнольдса, вычисленное по параметрам торможения, максимальной скорости и характерной длине.

На фиг. 2 показано влияние

числа  $M$  полета на распределение

напряжения трения для эллипсоида с  $\delta = 1.5$  и угла атаки  $15^\circ$  (пунктирной кривой

нанесены зависимости для  $N_{1w} = 0.75$ , сплошной — для  $N_{1w} = 0.05$ ; кривая 1 соответ-

ствует числу  $M_\infty = 5$ ; кривая 2 — числу  $M_\infty = 4$ ; кривая 3 — числу  $M_\infty = 3$ ). Можно

видеть, что увеличение числа  $M$  полета приводит к некоторому возрастанию напря-

жения трения. Проведенные расчеты для  $M_\infty = 6$  и 8 показывают, что дальнейшее

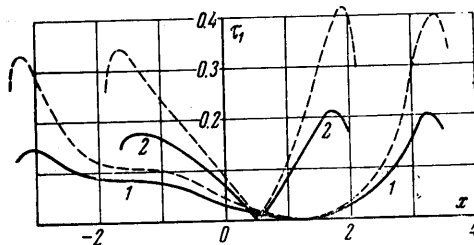
увеличение числа  $M$  полета незначительно сказывается на увеличении напряжения

трения, что связано со стабилизацией

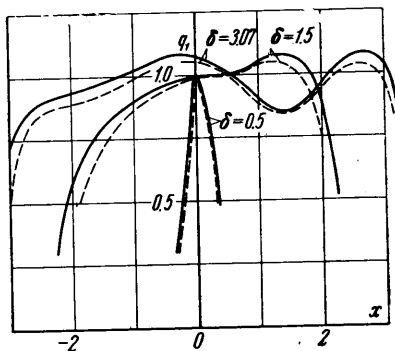
распределения относительной скорости

невязкого течения при больших скоро-

стях.



Фиг. 4



Фиг. 5

Такое представление удобно в том отношении, что, как показано в работе [1], эти зависимости слабо зависят от числа  $M$  полета и температурного фактора, а определяются в основном формой тела.

На фиг. 5 приведена зависимость  $q_1$  от  $x$  при фиксированном угле атаки  $\alpha = 10^\circ$ ,  $M_\infty = 3$  и при фиксированных параметрах  $\delta$  и  $H_{1w}$  (сплошная кривая соответствует температурному фактору  $H_{1w} = 0.05$ , пунктирная —  $H_{1w} = 0.75$ ).

Из этой фигуры можно видеть, что по мере увеличения параметра  $\delta$  происходит смена характера распределения величины  $q_1$ : при  $\delta = 0.5$  функция  $q_1$  является монотонно убывающей, при  $\delta > 2$  максимальное значение величины смещается к окрестности звуковой линии. Такое поведение величины  $q_1$  объясняется градиентом скорости внешнего течения.

Ниже приведены значения теплового потока

$$q_0 = q_w I \sqrt{R_0} / \rho_0 u_{t0}$$

в критической точке эллипсоидов вращения

$\delta$	0.5	2	3.07	$H_{1w}$	$\alpha$	$M_\infty$
$q_0$	0.925	0.289	0.184	0.05	$10^\circ$	3
$q_0$	0.236	0.070	0.0490	0.75	$10^\circ$	3

Можно видеть, что с увеличением параметра  $\delta$  тепловой поток в критической точке уменьшается.

С увеличением угла атаки при фиксированном параметре  $\delta$  и величине температурного фактора максимальное значение теплового потока смещается к окрестности звуковой линии для  $\delta \geq 1.5$  и увеличивается, что можно видеть из приведенных ниже данных

$\delta$	0.5	1.5	2	3.07	$M_\infty$	$\alpha$	$H_{1w}$
$q_1$	1.000	—	—	1.035	3	$5^\circ$	0.05
$q_1$	1.005	—	1.091	1.098	3	$10^\circ$	0.05
$q_1$	—	1.017	—	1.213	3	$15^\circ$	0.05

Поступило 9 IV 1968

#### ЛИТЕРАТУРА

1. Башкин В. А., Колина Н. П. Ламинарный пограничный слой на эллипсоидах вращения. Изв. АН СССР, МЖГ, 1966, № 6.
2. Петухов И. В. Численный расчет двумерных течений в пограничном слое. В сб.: «Численные методы решения дифференциальных и интегральных уравнений и квадратурные формулы». М., «Наука», 1964.
3. Тиняков Г. П. Исследование трехмерного сверхзвукового обтекания эллипсоидов вращения. Изв. АН СССР, Механика, 1965, № 6.
4. Гилинский С. М., Теленин Г. Ф., Тиняков Г. П. Метод расчета сверхзвукового обтекания затупленных тел с отходящей ударной волной. Изв. АН СССР, ОТН, Механика и машиностроение, 1964, № 4.

### УСТОЙЧИВОСТЬ ДВИЖЕНИЯ ЖИДКОСТИ МЕЖДУ ВРАЩАЮЩЕЙСЯ И НЕПОДВИЖНОЙ КОНЦЕНТРИЧЕСКИМИ СФЕРАМИ

Г. Н. ХЛЕБУТИН

(Пермь)

Обнаружен кризис устойчивости основного ламинарного движения тонкого слоя жидкости, заполняющей пространство между стационарно вращающейся внутренней и покоящейся наружной концентрическими сферами. Потеря устойчивости приводит к образованию кольцевых вихрей жидкости в экваториальном поясе сфер. При сверхкритических скоростях вращения устанавливается новое стационарное движение.

Устойчивость стационарного движения жидкости, заполняющей пространство между вращающейся внутренней и неподвижной наружной концентрическими сферами, исследовалась теоретически в работе [1]. Было найдено, что для отношения